

ЭЛЕКТРОМАГНИТНОЕ (ШВИНГЕРОВСКОЕ) РАССЕЯНИЕ БЫСТРЫХ НЕЙТРОНОВ В КРИСТАЛЛАХ

А.Н.Дюмин, И.Я.Коренблит, В.А.Рубан, Б.Б.Токарев

Показано, что для быстрых нейтронов, падающих под малым углом ($\sim 1^\circ$) к кристаллографической оси совершенного монокристалла, вклад в сечение рассеяния, обусловленный электромагнитным взаимодействием, возрастает благодаря интерференционным эффектам в десятки раз.

При прохождении через кристалл быстрых частиц (длина волны λ которых значительно меньше периода решетки d) может иметь место интерференционное усиление процессов электромагнитного взаимодействия.

Явления такого рода широко изучались теоретически и экспериментально в связи с исследованием процессов тормозного излучения фотонов и рождения электронно-позитронных пар, а также упругого рассеяния ультрарелятивистских электронов в кристаллических мишениях (см. книгу [1], где приведена полная библиография по этим вопросам).

Рассеяние быстрых ($\lambda \ll d$) заряженных частиц с импульсом $p = \hbar k$ на тяжелом атоме размера $a = a_0 Z^{-1/3}$ ($a_0 = \hbar^2/m e^2$ – боровский радиус, Z – заряд ядра) обладает разко выраженной направленностью вперед и происходит, главным образом, в область малых углов $\theta \sim (ka)^{-1} \sim \lambda/a \ll 1$. При этом характерный переданный импульс $q \sim q_{\parallel} \sim k\theta \ll d^{-1}$ почти поперечен k , а его продольная составляющая $q_{\parallel} k\theta^2 \sim (ka^2)^{-1} \ll d^{-1}$ и уменьшается с ростом энергии. Следовательно, атомы вдоль направления движения частицы в пределах эффективной длины $l \sim q_{\parallel}^{-1} \gg d$ рассеивают когерентно. В результате полное сечение рассеяния должно значительно возрастать и зависеть от направления влета частиц в кристалл относительно его осей.

Мы здесь покажем, что аналогичные интерференционные эффекты, характерные для заряженных частиц, должны проявляться также и при прохождении через кристалл быстрых нейтронов (с энергией \sim МэВ). Определяющую роль в данном случае играет медленно спадающее электромагнитное взаимодействие магнитного момента нейтрона $\vec{\mu}_n =$

$$= \frac{\gamma_n}{2} \left(\frac{e\hbar}{2M_n c} \right) \vec{\sigma} \text{ с электрическим полем атома } E = - \frac{R}{R} \frac{d\phi}{dR} \quad [2]:$$

$$U = - \gamma_n \left(\frac{e\hbar}{2M_n^2 c^2} \right) \vec{\sigma} [E p] = \gamma_n \frac{\mu_n}{M_n c} \frac{1}{R} \frac{d\phi}{dR} (\vec{\sigma} \vec{L}), \quad (1)$$

где $\gamma_n = 1,91$, M_n , $\vec{\sigma}$ и $\vec{L} = [rp]$ – масса, спин и орбитальный момент нейтрона. Это более слабое, по сравнению с ядерным, электромагнитное взаимодействие нейтрона приводит к швингеровскому рассеянию, которое доминирует в области малых углов и описывается в борновс-

ком приближении дифференциальным сечением [2]:

$$d\sigma_s = |f(q)|^2 d\Omega = \frac{\gamma_n^2}{4} \left(\frac{e^2}{M_n c^2} \right)^2 [Z - F(q)]^2 \operatorname{ctg}^2 \frac{\theta}{2} d\Omega. \quad (2)$$

Здесь $q = |\mathbf{k}' - \mathbf{k}| = 2k \sin \theta / 2$ – вектор рассеяния, $F(q)$ – атомный форм-фактор, описывающий экранирование кулоновского поля ядра электронами в атоме.

Когда нейтроны падают почти параллельно кристаллографической оси (под углами $\theta < \frac{d}{l} \sim \frac{1}{ka} \frac{d}{a} \ll 1$), рассеяние на отдельных цепочках атомов можно рассматривать независимо и учитывать интерференцию лишь на отдельной цепочке [3]. Таким образом, интерференционную часть швингеровского рассеяния в расчете на один атом кристалла можно записать в виде¹⁾

$$\frac{d\tilde{\sigma}_s}{d\Omega} = e^{-2W} |f(q)|^2 \frac{2\pi}{d} \sum_n \delta \left(q \mathbf{e} - \frac{2\pi}{d} n \right), \quad (3)$$

где $W(q) = \frac{1}{2} q^2 \bar{u}^2$ – фактор Дебая – Уоллера, \bar{u}^2 – средний квадрат тепловых колебаний атомов в кристалле, \mathbf{e} – единичный вектор в направлении цепочки, $n = 0, \pm 1, \dots$. При вычислении полного сечения $\tilde{\sigma}_s$ можно ограничиться главным членом с $n = 0$ в (3). Вклад остальных членов в полное сечение мал по параметру $\frac{d}{a} \frac{1}{4\pi ka} \ll 1$. Таким образом, для полного сечения получаем

$$\tilde{\sigma}_s = \frac{8\pi}{kd} \int_0^{2k\theta} dq |f(q)|^2 \frac{e^{-q^2 \bar{u}^2}}{\sqrt{4k^2 \theta^2 - q^2}}. \quad (4)$$

Это сечение соответствует рассеянию нейtronов на однородном среднем потенциале атомной цепочки $U(\rho) = \frac{1}{d} \int_{-\infty}^{\infty} U(\sqrt{\rho^2 + z^2}) dz$, поскольку передача импульса вдоль цепочки равна нулю.

Экранирование кулоновского поля ядра электронной оболочкой и тепловые колебания атомов решетки ограничивают эффективную область переданных импульсов, в которой происходит существенное когерентное усиление рассеяния:

$$a^{-1} < q < (\bar{u}^2)^{-\frac{1}{2}}.$$

¹⁾ Вследствие слабости электромагнитного взаимодействия нейtronов эффект затенения [4] учитывать не нужно.

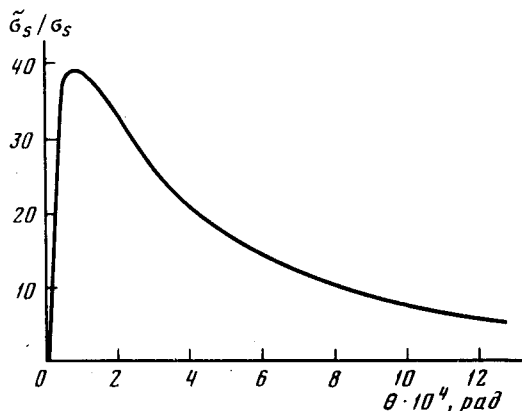
Поэтому для оценки сечения $\tilde{\sigma}_s$ можно в (4) интегрировать лишь в этом интервале, положив $e^{-q^2 u^2} \approx 1$, $F(q) \approx 0$. Тогда имеем:

$$\frac{\tilde{\sigma}_s}{\sigma_s} = \frac{a}{d} \left(\ln \frac{a}{R_{\text{я}}} \right)^{-1} \frac{\sqrt{4k^2 a^2 \theta^2 - 1}}{ak \theta^2}, \quad (5)$$

где σ_s — сечение швингеровского рассеяния на отдельном атоме, $R_{\text{я}}$ — радиус ядра, на котором при вычислении σ_s обрезается снизу потенциал (1). Когерентное усиление достигает максимума при угле падения пучка относительно цепочки $\theta_{max} \sim (\sqrt{2}ka)^{-1}$:

$$\left(\frac{\tilde{\sigma}_s}{\sigma_{s \text{ max}}} \right) \approx \frac{a}{d} \frac{2ka}{\ln(a/R_{\text{я}})}. \quad (6)$$

Эта формула имеет прозрачный физический смысл. Сечение (6) соответствует суммированию амплитуд рассеяния на длине когерентности $l \sim q_{||}^{-1} \sim ka^2$. Логарифмический множитель обусловлен более быстрым по сравнению с кулоновским спаданием швингеровского потенциала (1), так что вклад в σ_s дает широкая область углов, а не только $\theta \sim (ka)^{-1}$.



Зависимость полного швингеровского сечения рассеяния нейтронов с энергией $E = 1$ МэВ от угла влета θ по отношению к кристаллографической оси для вольфрама ($T_D = 384$ К) при температуре $T = 300$ К. Экранировка поля ядра учитывалась по методу Томаса — Ферми $\sigma_s = 1,6 \cdot 10^{-26} \text{ см}^2$

Для нейтронов с энергией $E \approx 1$ МэВ ($k \approx 2 \cdot 10^{12} \text{ см}^{-1}$) швингеровское рассеяние на кристаллах тяжелых элементов типа вольфрама ($d/a \approx 25$, $a/R_{\text{я}} \approx 10^3$) должно возрастать в 20 — 30 раз при $\theta_{max} \approx 1^\circ$.

Результат численного расчета по точной формуле (4) для вольфрама показан на рисунке. Видно, что полное сечение швингеровского рассеяния на кристалле в максимуме в 40 раз больше, чем на отдельном атоме и становится сравнимым с сечением ядерного рассеяния нейтронов¹⁾. Поэтому обсуждаемый эффект можно обнаружить по зависимости интенсивности проходящего через монокристалл пучка нейтронов от ориента-

¹⁾ Заметим, что весь рассеянный на монокристалле пучок нейтронов приобретает малую поляризацию ($\sim 10^{-5}$), параллельную оси цепочки.

ции. Для этого необходимы достаточно совершенные кристаллы (с малой мозаичностью $< 1'$) тяжелых элементов, имеющие сравнительно высокую температуру Дебая, так чтобы $\sqrt{u^2} \ll a$.

Институт ядерной физики
им. Б.П.Константина
Академии наук СССР

Поступила в редакцию
15 февраля 1980 г.

Литература

- [1] М.А.Тер-Микаелян. Влияние среды на электромагнитные процессы при высоких энергиях, Ереван, 1969.
- [2] J.Schwinger. Phys. Rev., 73, 407, 1948; В.М.Копров. ЖЭТФ, 38, 639, 1960.
- [3] H. Überall. Phys. Rev., 103, 1055, 1956.
- [4] Н.П.Калашников, Э.А.Коптелов, М.И.Рязанов. ЖЭТФ, 63, 1108, 1972; А.И.Ахиезер, В.Ф.Болдышев, Н.Ф.Шульга. Сб."Физика элементарных частиц и атомного ядра", 10, 51, 1979.